

ملاحظاتی در باره اثر شیب بار بر ضرائب ظرفیت باربری لرزه‌ای پی نواری

محسن کمالیان^{*}، کامبیز بهنیا^۲، محمدرضا لطفی‌زاده^۳ و ابوالفضل رستگار^۴

^۱دانشیار پژوهشکده مهندسی ژئوتکنیک، پژوهشگاه بین‌المللی زلزله‌شناسی و مهندسی زلزله

^۲دانشیار دانشکده مهندسی عمران، پردیس دانشکده‌های فنی، دانشگاه تهران

^۳دانش آموخته کارشناسی ارشد مهندسی زلزله، پژوهشگاه بین‌المللی زلزله‌شناسی و مهندسی زلزله

^۴دانشجوی دکترا مهندسی عمران، دانشگاه آزاد اسلامی واحد علوم و تحقیقات تهران، گروه عمران

(تاریخ دریافت ۱۶/۰۵/۱۳۸۷، تاریخ دریافت روایت اصلاح شده ۱۴/۰۶/۱۳۹۰، تاریخ تصویب ۲۸/۰۶/۱۳۹۰)

چکیده

محققین پیشین ضرائب ظرفیت باربری لرزه‌ای پی نواری را عمدتاً با این فرض متعارف برآورد کردند که نه تنها نیروی حجمی و نیز سربار وارد بـ سطح آزاد مجاور پـی، بلکه حتـی فشار تماس زیر پـی، با راستای قائم زاویه‌ای یکنواخت و مناسب با ضرـیب افقـی شـتاب زـلزلـه مـی‌سازـند. برـاستـی اـگـر در قـابـهـای خـمـشـی دـارـای چـند دـهـانـه، اـز بـادـبـندـ، تـکـیـهـگـاهـ غـلـطـکـیـ یـا بـرـخـیـ عـوـاـمـلـ دـیـگـرـ درـ مـکـانـیـسـ بـارـبـرـیـ اـفـقـیـ سـازـهـ استـفادـهـ شـودـ وـ لـذـا شـیـبـ بـارـهـایـ لـرـزـهـایـ وـارـدـهـ بـرـ کـفـ پـیـهـاـ مـتـفـاـوتـ باـشـدـ، ظـرفـیـتـ بـارـبـرـیـ لـرـزـهـایـ یـهـاـ چـگـونـهـ تـغـیـیرـ خـواـهـدـ یـافـتـ؟ مـقـالـهـ حـاضـرـ بـرـ آـنـ اـسـتـ تـاـهـ بـهـ اـیـ اـسـوـالـ پـاسـخـ دـهـدـ. بـرـایـ اـبـنـ منـظـورـ ضـرـائـبـ ظـرفـیـتـ بـارـبـرـیـ لـرـزـهـایـ پـیـ نـوـارـیـ بـاـ بـكـارـگـیرـیـ روـشـ خـطـوـطـ مـشـخـصـهـ بـرـآـورـدـ وـ اـثـرـ شـیـبـ بـارـ کـفـ پـیـ مـورـدـ تـوجـهـ قـرارـ گـرفـتـهـ اـسـتـ. نـشـانـ دـادـهـ شـدـهـ اـسـتـ کـهـ هـرـ قـدـرـ شـیـبـ بـارـ کـفـ پـیـ کـمـترـ باـشـدـ، ظـرفـیـتـ بـارـبـرـیـ قـائـمـ بـیـ فـرـونـ تـرـ خـواـهـدـ شـدـ. هـمـچـنـینـ اـبـنـ پـیـشـنـیـمـ مـورـدـ تـأـکـیدـ قـرارـ گـرفـتـهـ اـسـتـ کـهـ اـثـرـ زـلـزلـهـ بـرـ هـرـ یـکـ اـزـ نـیـروـیـ حـجمـیـ خـاـکـ وـ سـرـبـارـ، هـمـانـدـ اـثـرـ آـنـ بـرـ شـیـبـ بـارـ کـفـ پـیـ، بـیـشـ اـزـ آـنـ اـسـتـ کـهـ نـادـیدـهـ گـرفـتـهـ شـودـ.

واژه‌های کلیدی: ظرفیت باربری لرزه‌ای، پی نواری، زلزله، خطوط مشخصه، شیب بار.

بیشتری صورت می‌پذیرد. روش خطوط مشخصه تنش اگرچه در «دنیای تعادل خمیری» جای دارد، اما از منظر «آنالیز حدی^۵» نه حد بالای^۶ بار گسیختگی را بدست می‌دهد و نه همواره حد پایین^۷؛ اگر بتوان در نواحی پوشیده نشده از خطوط مشخصه چنان میدان تنشی را یافت که معیار گسیختگی (عموماً موهر کولمب^۸) را نقض نکند، آن وقت می‌توان اطمینان داشت که پاسخ بدست آمده، حد پایین بار گسیختگی محسوب است.

بدیهی است که شیب بار وارد بـرـ کـفـ پـیـ ظـرفـیـتـ بـارـبـرـیـ لـرـزـهـایـ پـیـ نـوـارـیـ رـاـ مـتـاثـرـ مـیـسـازـدـ. یـادـآـورـ مـیـشـودـ کـهـ مـرـادـ اـزـ بـارـ وـارـدـ بـرـ کـفـ پـیـ، نـیـروـیـ کـلـ وـارـدـ بـرـ کـفـ پـیـ مـیـشـودـ یـاـ هـمـانـ بـرـآـینـدـ فـشارـ تـمـاسـ کـفـ پـیـ اـسـتـ وـ مـرـادـ اـزـ شـیـبـ بـارـ کـفـ پـیـ، زـاوـیـهـیـ نـیـروـیـ کـلـ وـارـدـ بـرـ کـفـ پـیـ بـاـ رـاستـایـ قـائـمـ. هـمـچـنـینـ یـادـآـورـ مـیـشـودـ کـهـ مـقـالـهـ حـاضـرـ نـیـزـ چـونـ اـغـلـبـ کـارـهـایـ مشـابـهـ ثـبـتـ شـدـهـ درـ اـدـبـیـاتـ فـنـیـ، فـرضـ رـاـ بـرـ تـسـاوـیـ زـاوـیـهـیـ مـیـلـ فـشارـ تـمـاسـ کـفـ پـیـ نـیـسـتـ بـهـ محـورـ قـائـمـ بـاـ شـیـبـ بـارـ وـارـدـ بـرـ کـفـ پـیـ گـذاـشـتـهـ کـهـ فـرضـیـ تـقـرـیـبـیـ اـمـاـ سـادـهـ کـنـنـدـهـ اـسـتـ. ضـرـائـبـ ظـرفـیـتـ بـارـبـرـیـ لـرـزـهـایـ پـیـ نـوـارـیـ عـمـومـاـ بـاـ اـنـ فـرضـ مـتـعـارـفـ درـ اـدـبـیـاتـ فـنـیـ اـرـائـهـ شـدـهـ اـسـتـ

مقدمه

بنـاهـاـ هـمـهـ سـرـانـجـامـ بـرـ روـیـ خـاـکـ قـرـارـ مـیـگـيرـندـ. بنـابـرـاـينـ ظـرفـیـتـ بـارـبـرـیـ^۱ پـیـهـاـ یـکـیـ اـزـ مـهـمـتـرـینـ مـوـضـوعـاتـ حـوزـهـ مـکـانـیـکـ خـاـکـ وـ مـهـنـدـسـیـ پـیـ اـسـتـ. بدـیـهـیـ اـسـتـ کـهـ ظـرفـیـتـ بـارـبـرـیـ لـرـزـهـایـ^۲ پـیـهـاـ کـهـ درـ هـنـگـامـ وـقـوعـ زـلـزلـهـ مـوـضـوعـیـتـ دـارـدـ، درـ اـینـ مـیـانـ جـایـگـاهـیـ خـاصـ دـارـدـ. سـارـماـ وـ لـسـیـفـلـیـسـ [۱]، رـیـچـارـدـ وـ هـمـکـارـانـ [۲]، بـودـهوـ وـ الـکـرنـیـ [۳ وـ ۴]، سـوـبراـ [۵] وـ کـوـمـارـوـ رـائـوـ [۶] نـشـانـ دـادـنـدـ کـهـ ضـرـائـبـ ظـرفـیـتـ بـارـبـرـیـ پـیـهـاـ بـهـ هـنـگـامـ وـقـوعـ زـلـزلـهـ، درـ قـیـاسـ بـاـ شـرـایـطـ بـارـگـذـارـیـ اـسـتـاتـیـکـیـ کـاـهـشـ بـسـیـارـ قـابلـ تـوجـهـ دـارـدـ. رـوـشـ خـطـوـطـ مـشـخـصـهـ^۷ تـشـ (سـوـکـولـوـسـکـیـ) [۷]، بـوـکـرـ وـ دـیـوـیـسـ [۸] وـ اـنـکـیـنـسـونـ [۹] یـکـیـ اـزـ جـذـابـتـرـینـ وـ مـؤـثـرـتـرـینـ رـوـشـهـایـ عـدـدـیـ اـسـتـ کـهـ بـرـآـورـدـ ظـرفـیـتـ بـارـبـرـیـ اـسـتـاتـیـکـیـ وـ لـرـزـهـایـ پـیـهـاـیـ نـوـارـیـ رـاـ مـمـکـنـ مـیـسـازـدـ. اـمـتـیـازـ مـهـمـ اـنـ رـوـشـ بـرـ سـایـرـ رـوـشـهـایـ عـدـدـیـ آـنـ اـسـتـ کـهـ مـعـمـولـاـ نـهـ بـاـ مشـبـنـدـیـهـاـیـ مـتـعـارـفـ وـ پـرـ درـدـسـ دـستـ بـهـ گـرـیـبـانـ اـسـتـ وـ نـهـ بـاـ مـدـلـهـایـ رـفـتـارـیـ پـیـچـیدـهـ وـ خـاصـ خـاـکـ. اـزـ آـنـجـایـیـ کـهـ درـ لـحـظـهـ گـسـیـختـگـیـ، تـنـهـ مـیدـانـ تـنشـ وـ نـهـ مـیدـانـ کـرـنـشـ، مـورـدـ نـیـازـ اـسـتـ، مـحـاسـبـاتـ بـاـ سـادـگـیـ وـ سـرـعـتـ

راستای تنش اصلی بزرگ (σ_I) با محور x (θ) بازنویسی کنیم، روابط زیر بدست خواهد آمد (شکل ۲):

$$\sigma_x = p + R \cos 2\theta \quad (3-\text{الف})$$

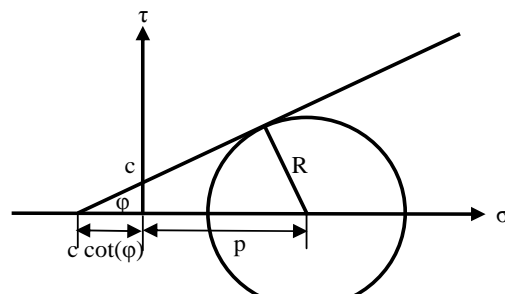
$$\sigma_y = p - R \cos 2\theta \quad (3-\text{ب})$$

$$\tau_{xy} = R \sin 2\theta \quad (3-\text{پ})$$

که در آن:

$$R = p \sin \phi + c \cos \phi \quad (4)$$

R شعاع دایره موهر و p فاصله مرکز آن را از مبدأ مختصات نشان می‌دهند (شکل ۱).



شکل (۱): دایره موهر تنش‌ها در حالت گسیختگی

اگر نیروی حجمی را راحتی می‌توان دستگاه معادلات تعادل (رابطه

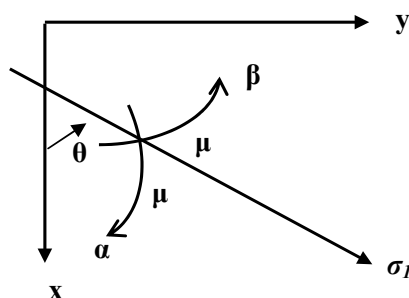
(۱) را بر حسب متغیرهای جدید p و θ به شرح زیر بازنویسی نمود (بوکر و دیویس [۸]):

$$\frac{\partial p}{\partial x} (1 + \sin \phi \cos 2\theta) + \frac{\partial p}{\partial y} \sin \phi \sin 2\theta + \dots \quad (5)$$

$$2R \left(-\frac{\partial \theta}{\partial x} \sin 2\theta + \frac{\partial \theta}{\partial y} \cos 2\theta \right) = \gamma \cos \varepsilon \quad (\text{الف})$$

$$\frac{\partial p}{\partial x} \sin \phi \sin 2\theta + \frac{\partial p}{\partial y} (1 - \sin \phi \sin 2\theta) + \dots \quad (5)$$

$$2R \left(+\frac{\partial \theta}{\partial x} \cos 2\theta + \frac{\partial \theta}{\partial y} \sin 2\theta \right) = \gamma \sin \varepsilon \quad (\text{ب})$$



شکل (۲): موقعیت محور تنش اصلی بزرگ (σ_I) و خطوط مشخصه مشخصه α و β در دستگاه مختصات کارتزین خطوط مشخصه نظیر دستگاه معادله (۵) را می‌توان با

که نه تنها نیروی حجمی و نیز سربار وارد بر سطح آزاد مجاور پی، بلکه حتی فشار تماس^۹ کف پی، با راستای قائم زاویه‌ای مناسب با ضریب افقی شتاب زلزله (k_h)^{۱۰} و برابر $\alpha = \tan^{-1}(k_h)$ می‌سازند. اما آیا این فرض همواره صحیح است؟ اگر استفاده از سیستم بادیند در تنها بعضی دهانه‌ها، وجود تکیه‌گاه‌های غلطکی در پای برخی ستون‌ها، یا پاره‌ای عوامل دیگر باعث شود که شبیب بار در زیر پی برخی ستون‌ها با زاویه‌ی α متفاوت باشد، ضرائب ظرفیت باربری لرزه‌ای پی چگونه تغییر خواهد یافت؟ مقاله‌ی حاضر بر آن است تا با استفاده از روش خطوط مشخصه، پرسش اخیر را بررسی و پاسخی برای آن ارائه کند.

در ادامه این مقاله ابتدا فرمولیندی و الگوریتم حل مسئله ظرفیت باربری پی‌های نواری با استفاده از روش خطوط مشخصه شرح داده شده است. سپس ضرائب ظرفیت باربری لرزه‌ای پی‌های نواری با استفاده از روش خطوط مشخصه تشخیص و بر اساس این فرض برآورد شدند که هم نیروی حجمی، هم سربار وارد بر سطح آزاد مجاور پی و هم شبیب بار زیر پی، با راستای قائم زاویه‌ی α می‌سازند. پس از آن ضرائب ظرفیت باربری لرزه‌ای پی‌های نواری برای حالتی برآورد گردیدند که شبیب بار کف پی از زاویه‌ی α کمتر است. نهایتاً نمودارها و جداولی ارائه شدند که ضرائب ظرفیت باربری لرزه‌ای پی‌های نواری را در حالت اخیر بدست می‌دهند.

مبانی روش خطوط مشخصه

دستگاه معادلات تعادل حاکم بر یک المان دو بعدی کرنش صفحه‌ای را می‌توان به شکل زیر بیان نمود:

$$\frac{\partial \sigma_x}{\partial x} + \frac{\partial \tau_{xy}}{\partial y} = \gamma \cos \varepsilon \quad (1-\text{الف})$$

$$\frac{\partial \tau_{xy}}{\partial x} + \frac{\partial \sigma_y}{\partial y} = \gamma \sin \varepsilon \quad (1-\text{ب})$$

۷ بیانگر وزن مخصوص خاک و ۸ نشانگر زاویه نیروی حجمی با محور x است. رفتار خاک صلب خمیری و معیار کسیختگی با رابطه موهر کولمب بیان می‌شود:

$$(\sigma_x - \sigma_y)^2 + 4\tau_{xy}^2 = (\sigma_x + \sigma_y + 2c \cot \phi)^2 \sin^2 \phi \quad (2)$$

اگر تنش‌های σ_x ، σ_y و τ_{xy} را با کمک دایره موهر (شکل ۱) بر حسب پارامترهای مقاومت برشی و نیز دو پارامتر میانگین تنش‌های اصلی بزرگ و کوچک (p) و زاویه

مختصات و متغیرهای p و θ در امتداد دو منحنی مشخصه آن (OQ) و خود نقطه O که یک منحنی مشخصه β با طول قوس بینهایت کوچک است) معلوم می‌باشد.

۳- ناحیه مرکب ^{۱۴} (ORS) که برخی شرایط مرزی در امتداد یک منحنی مشخصه (OR) و برخی دیگر (مثلث θ) در امتداد یک منحنی غیرمشخصه آن (مرز OS) معلوم است. به منظور حل مسأله در هر یک از نواحی سه‌گانه فوق الذکر، می‌توان با بکارگیری الگوریتم پیشنهادی بوکر و دیویس ^[۸] و به ترتیب زیر عمل کرد. نرم‌افزار SLM (کمالیان ^[۱۰]) که محاسبات مقاله‌ی حاضر توسط آن انجام شده، بر اساس این الگوریتم تدوین شده است:

حل ناحیه کوشی

دو نقطه مجاور A و B روی مرز معلوم OT در نظر گرفته می‌شود. نقطه P محل تلاقی دو خط مشخصه α و β است که به ترتیب از نقاط A و B عبور کرده‌اند. برای یافتن مختصات و متغیرهای p و θ در نقطه P کافی است دستگاه معادلات (۶) و (۸) را با کمک الگوریتم تفاضل محدود به ترتیب به شکل تقریبی زیر بازنویسی و با روش سعی و خطا حل کنیم:

$$\begin{aligned} y_P - y_A &= \tan\left[\frac{\theta_P + \theta_A}{2} - \mu\right][x_P - x_A] \\ y_P - y_B &= \tan\left[\frac{\theta_P + \theta_B}{2} + \mu\right][x_P - x_B] \end{aligned} \quad (9)$$

و

$$\begin{aligned} -\sin(2\mu) \cdot [p_P - p_A] + [R_A + R_P][\theta_P - \theta_A] &= \\ -\gamma \cdot \sin(-\varepsilon + 2\mu)[x_P - x_A] - \gamma \cdot \cos(-\varepsilon + 2\mu)(y_P - y_A) &= \\ \sin(2\mu) \cdot [p_P - p_B] + [R_B + R_P][\theta_P - \theta_B] &= \\ -\gamma \cdot \sin(-\varepsilon - 2\mu)[x_P - x_B] - \gamma \cdot \cos(-\varepsilon - 2\mu)(y_P - y_B) &= \end{aligned} \quad (10)$$

ابتدا تخمین اولیه‌ای از متغیرهای x_P و y_P و θ_P را در دستگاه معادلات (۱۰) قرار و مقادیر جدید متغیرهای p_P و θ_P را بدست می‌آوریم. سپس این مقادیر را در دستگاه معادلات (۹) قرارداده و مقادیر جدیدی برای متغیرهای x_P و y_P می‌یابیم. این عملیات را آنقدر تکرار ^{۱۵} می‌کنیم تا دقت مورد نظر حاصل آید. ادامه حرکت در راستای مرز معلوم OT و یافتن دیگر نقاط مشابه P، مرز معلوم و غیر مشخصه دیگری را نظیر OT بدهد که می‌تواند سراغاز حرکت برای نقاط زیرین باشد.

روابط زیر نشان داد (بوکر و دیویس ^[۸]):

$$\frac{dy}{dx} = \tan(\theta - \mu) \quad (6-\text{الف})$$

$$\frac{dy}{dx} = \tan(\theta + \mu) \quad (6-\text{ب})$$

که در آن:

$$\mu = \pi/4 - \phi/2 \quad (7)$$

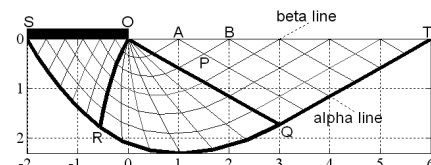
روابط (۶-الف) و (۶-ب) به ترتیب خطوط مشخصه α و β را بیان می‌دارند که به طور شماتیک در شکل (۲) نشان داده شده‌اند. اکنون به راحتی می‌توان دستگاه معادلات (۵) را که در سیستم مختصات کارترین نوشته شده، در دستگاه مختصاتی که خطوط مشخصه α و β محورهای آن را تشکیل می‌دهند، به شرح زیر بازنویسی نمود:

$$\begin{aligned} -\sin 2\mu \frac{\partial p}{\partial s_\alpha} + 2R \frac{\partial \theta}{\partial s_\alpha} + \gamma [\sin(-\varepsilon + 2\mu) \frac{\partial x}{\partial s_\alpha} + \cos(-\varepsilon + 2\mu) \frac{\partial y}{\partial s_\alpha}] &= 0 \\ \sin 2\mu \frac{\partial p}{\partial s_\beta} + 2R \frac{\partial \theta}{\partial s_\beta} + \gamma [\sin(-\varepsilon - 2\mu) \frac{\partial x}{\partial s_\beta} + \cos(-\varepsilon - 2\mu) \frac{\partial y}{\partial s_\beta}] &= 0 \end{aligned} \quad (8)$$

عبارات $\partial/\partial s_\alpha$ و $\partial/\partial s_\beta$ به ترتیب مشتق نسبت به طول قوس را در راستای خطوط مشخصه α و β بیان می‌دارند.

الگوریتم حل مسأله با روش خطوط مشخصه

شکل (۳) تصویری شماتیک از چگونگی آرایش خطوط مشخصه زیر نیمه سمت راست یک پی‌صیقلی را نشان می‌دهد. نقطه (O) گوشی سمت راست و نقطه (S) مرکز پی را نشان می‌دهد. چنان‌که دیده می‌شود، خاک زیر پی از سه ناحیه خمیری شده به شرح زیر تشکیل می‌گردد که باید به ترتیب یکی پس از دیگری حل شوند:



شکل (۳): تصویر شماتیک آرایش خطوط مشخصه زیر نیمه

سمت راست یک پی‌صیقلی

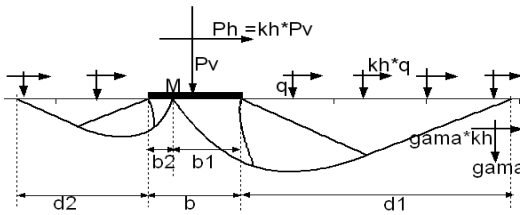
- ۱- ناحیه کوشی ^{۱۱} (OTQ) که شرایط مرزی ^{۱۲} شامل مختصات و متغیرهای p و θ در امتداد یک منحنی غیر مشخصه آن (مرز OT) معلوم است.
- ۲- ناحیه گورست ^{۱۳} (OQR) که شرایط مرزی شامل

چسبندگی (c) را بر آن بیان می‌دارند.

شکل (۴) تصویری شماتیک از صورت مسأله را نشان می‌دهد. چنان‌که دیده می‌شود، فرض بر آن است که:

- هر یک از نیروی حجمی، سربار واردہ بر سطح آزاد مجاور پی و فشار تماس زیر پی، با راستای قائم زاویه‌ای برابر ($\alpha = \tan^{-1}(k_h)$) می‌سازند. ضریب شتاب افقی زلزله است.

• آرایش خطوط مشخصه زیر پی، به سبب عدم تقارن در بارگذاری، نامتقارن است. به عبارت دیگر حل مسأله از گوششای سمت راست و چپ پی، به پاسخ یکسانی منتهی نمی‌شود. بنابراین بر خلاف حالت بارگذاری استاتیکی، نمی‌توان به حل نیمی از مسأله اکتفاء و پاسخ آن را در دو ضرب کرد. بدینهی است به جای حل مسأله از گوشش سمت چپ، می‌توان علامت نیروهای افقی را عکس و ضمن حل مسأله از همان گوشش سمت راست، با استفاده از اصل تقارن، میدان تنش را به سمت چپ پی منتقل کرد.



شکل (۴): تصویر شماتیک وضعیت بارگذاری لرزه‌ای پی نواری

ضریب باربری $N\gamma$

در این حالت فرض بر آن است که محیط وزین و فاقد سربار و چسبندگی است. به منظور جلوگیری از ناپایداری عددی، مقدار سربار برابر عددی کوچک قرار داده می‌شود. به هنگام حل مسأله از گوشش سمت راست پی، شرایط مرزی را به راحتی می‌توان نشان داد (کومار و رائو [۶]) که به قرار زیر است:

زیر پی:

$$\theta_f = \frac{1}{2} [\sin^{-1}(\frac{\sin \delta}{\sin \phi}) + \delta] \quad (12)$$

سطح آزاد زمین مجاور پی:

$$\theta_{gr} = \frac{1}{2} [\pi - \sin^{-1}(\frac{\sin \delta}{\sin \phi}) + \delta] \quad (13)$$

که در آنها:

$$\delta = \tan^{-1}(k_h) \quad (14)$$

حل نواحی گورست و مركب

نقطه O یک مرز مشخصه β با طول قوس صفر است. در اولین نقطه این مرز مشخصه که با ناحیه کوشی مشترک است، متغیرهای p و θ و در آخرین نقطه آن که با ناحیه مركب مشترک است، متغیر θ معلوم است. ابتدا با کمک رابطه دوم دستگاه (۱۰) و با توجه به صفر بودن سمت راست تساوی، متغیر p در نقاط میانی و انتهایی این خط مرز مشخصه محاسبه می‌شود. پس از آن به ترتیب زیر عمل می‌گردد:

از گره دوم بر روی مرز مشخصه β یک خط مشخصه α و از گره دوم بر روی مرز مشخصه α (OQ) یک خط مشخصه β گذرانده می‌شود. برای یافتن مختصات و متغیرهای p و θ در محل تلاقی این دو خط مشخصه (نقطه P) از همان روش حل ناحیه کوشی استفاده می‌گردد. اکنون گره P و گره سوم بر روی مرز مشخصه α جایگزین گرهای آغازین پیشین و عملیات مجدد انجام می‌شود. تکرار عملیات فوق الذکر مختصات و متغیرهای p و θ را در امتداد دومین خط مشخصه α از ناحیه گورست بدست می‌دهد. نشاندن این خط مشخصه α به جای مرز مشخصه α و از سرگیری عملیات فوق الذکر، پیشروع در امتداد مرز مشخصه β و در نتیجه حل ناحیه گورست را ممکن می‌سازد.

با حل ناحیه گورست، مختصات و متغیرهای p و θ در امتداد آخرین خط مشخصه آن (منحنی OR) بدست می‌آید. این خط مشخصه، مرز مشخصه معلوم ناحیه گورست است. به منظور حل ناحیه مركب، مانند ناحیه گورست عمل می‌شود. با حل ناحیه مركب تعیین توزیع فشار تماس زیر بخش سمت راست پی (خط OS) ممکن می‌گردد. انگرال مؤلفه‌های قائم (σ_x) و افقی (τ_{xy}) فشار تماس در هر دو بخش سمت راست و چپ پی، مؤلفه‌های قائم (P_v) و افقی (P_h) نیروی گسیختگی وارد بر پی را بدست می‌دهد.

ضرائب ظرفیت باربری لرزه‌ای پی نواری

ظرفیت باربری لرزه‌ای قائم پی نواری از رابطه زیر حاصل می‌شود:

$$q_v = P_v/b = 0.5 \cdot b \cdot \gamma \cdot N_y + q \cdot N_q + c \cdot N_c \quad (11)$$

ضرائب ظرفیت باربری N_y ، N_q و N_c هستند که با فرض صحت اصل جمع آثار قوا^{۱۶}، اثر وزن (g)، سربار (q) و

مقدار زاویه (k_h) با زاویه اصطکاک داخلی خاک برابر خواهد بود.

Nq ضریب باربری

در این حالت فرض بر آن است که محیط فاقد وزن و چسبندگی و تنها دارای سریار (q) است. از آنجایی که محیط فاقد وزن و لذا معادلات دیفرانسیل تعادل از نوع همگن است، به هنگام حل مسئله از هر یک از دو گوشه سمت راست و چپ، فشار تماشی یکنواخت برای زیر پی بدست می آید. به همین سبب مکانیسم گسیختگی توده خاک زیر پی از نوع یک طرفه و ظرفیت باربری پی برابر کمترین مقداری است که حل مسئله از دو سوی راست و چپ بدست می دهد. به هنگام حل مسئله از گوشه سمت راست پی همان شرایط مرزی حالت ضریب N_q برقرار است. برای حل مسئله به ترتیب زیر عمل می شود:

۱- مسئله از گوشه سمت راست پی حل و فشار تماش زیر پی محاسبه می گردد.

۲- مسئله از گوشه سمت چپ پی حل و فشار تماش زیر پی محاسبه می گردد.

۳- کمترین مقدار بدست آمده برای فشار تماش از میان گامهای اول و دوم به عنوان ظرفیت باربری پی (q_v) استخراج می شود.

۴- ضریب N_q با کمک رابطه زیر محاسبه می گردد:

$$N_q = q_v / q \quad (16)$$

شکل (۶) نتایج N_q با زاویه اصطکاک داخلی خاک (ϕ) و ضریب افقی شتاب زلزله (k_h) را نشان داده است. ضرائب بدست آمده از نرم افزار SLM با خط ممتد و ضرائب محاسبه شده توسط کومار و رائو [۶] به صورت نقطه نمایش داده شده اند. چنان که مشاهده می شود، اولاً همانگی بسیار خوبی میان ضرائب بدست آمده در این تحقیق با مقادیر مشابه ثبت شده در ادبیات فنی وجود دارد. ثانیاً، ضریب N_q با افزایش ضریب افقی شتاب زلزله کاهش می یابد و این همان رفتاری است که انتظار می رفت. با توجه به صفر بودن چسبندگی (c)، بیشینه مقدار زاویه $\alpha \tan^{-1}(k_h)$ با زاویه اصطکاک داخلی خاک برابر خواهد بود.

Nc ضریب باربری

در این حالت فرض بر آن است که محیط فاقد وزن و سریار و تنها دارای چسبندگی (c) است. از آنجایی که

برای حل مسئله به ترتیب زیر عمل می شود:

۱- عددی اختیاری به عنوان پهنهای محدوده خمیری شده مجاور گوشه راست پی (d_1) انتخاب می شود.

۲- مسئله از گوشه سمت راست پی حل و فشار تماش زیر پی و پهنهای محدوده خمیری شده زیر پی (b_1) محاسبه می گردد.

۳- مسئله از گوشه سمت چپ پی بر اساس همان پهنهای اختیاری (d_1) حل می شود.

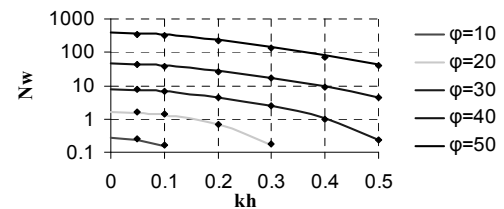
۴- نقطه M از میان گرههای نیمه سمت چپ پی چنان اختیار می شود که مقدار میانگین تنشهای اصلی آن با میانگین تنشهای اصلی آخرین گره نیمه سمت راست برابر باشد. در این حالت پهنهای محدوده خمیری مجاور گوشه چپ برابر d_2 و پهنهای محدوده خمیری زیر پی برابر b_2 اصلاح خواهد شد.

۵- عرض نهایی پی (b) برابر حاصل جمع پهنهای دو محدوده خمیری راست و چپ زیر پی (b_1 و b_2) اختیار می شود.

۶- پس از محاسبه میانگین مؤلفه قائم فشار تماش زیر پی (q_v)، ضریب N_c با کمک رابطه زیر محاسبه می شود:

$$N_c = q_v / (0.5 \cdot b \cdot \gamma) \quad (17)$$

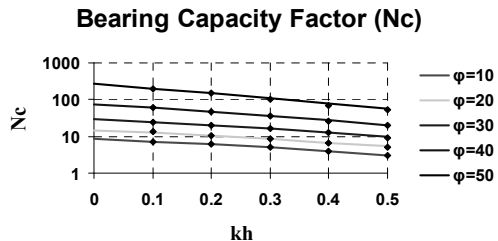
Bearing Capacity Factor (Nw)



شکل (۵): نتایج ضریب N_c با زاویه اصطکاک داخلی خاک (ϕ) و ضریب افقی شتاب زلزله (k_h)

شکل (۵) نتایج ضریب N_c با زاویه اصطکاک داخلی خاک (ϕ) و ضریب افقی شتاب زلزله (k_h) را نشان داده است. ضرائب بدست آمده از نرم افزار SLM با خط ممتد و ضرائب محاسبه شده توسط کومار و رائو [۶] به صورت نقطه نمایش داده شده اند. چنان که مشاهده می شود، اولاً همانگی بسیار خوبی میان ضرائب بدست آمده در این تحقیق با مقادیر مشابه ثبت شده در ادبیات فنی وجود دارد. ثانیاً، ضریب N_c با افزایش ضریب افقی شتاب زلزله کاهش می یابد و طبیعتاً این همان رفتاری است که انتظار می رفت. با توجه به صفر بودن چسبندگی (c)، بیشینه

- ۲- مسئله از گوشه سمت چپ پی حل و فشار تماس زیر پی محاسبه می‌گردد.
- ۳- کمترین مقدار بدست آمده برای فشار تماس از میان گام‌های اول و دوم به عنوان ظرفیت باربری پی (q_v) استخراج می‌شود.
- ۴- ضریب N_c با کمک رابطه زیر محاسبه می‌گردد:
- $$N_c = q_v/c \quad (19)$$
- شکل (۷) نتایج ضریب N_c با زاویه اصطکاک داخلی خاک (ϕ) و ضریب افقی شتاب زلزله (k_h) را نشان داده است. ضرائب بدست آمده از نرم‌افزار SLM با خط ممتد و ضرائب محاسبه شده توسط کومار و رائو [۶] به صورت نقطه نمایش داده شده‌اند. چنان‌که مشاهده می‌شود، اولاً، همانگی بسیار خوبی میان ضرائب بدست آمده در این تحقیق با مقادیر مشابه ثبت شده در ادبیات فنی وجود دارد. ثانیاً، ضریب N_c با افزایش ضریب افقی شتاب زلزله کاهش می‌یابد که البته مانند حالات پیشین، همان رفتاری است که انتظار می‌رفت.



شکل (۷): نتایج ضریب N_c با زاویه اصطکاک داخلی خاک (ϕ) و ضریب شتاب افقی زلزله (k_h)

اثر شب بار بر ظرفیت باربری لرزه‌ای

ضرائب ظرفیت باربری لرزه‌ای پی‌های نواری در بخش پیشین ارائه شد. فرض حاکم بر ضرائب یاد شده آن بود که نه تنها نیروی حجمی و نیز سربار وارده بر سطح آزاد مجاور پی، بلکه حتی فشار تماس زیر پی، با راستای قائم زاویه‌ای برابر $\alpha = \tan^{-1}(k_h)$ می‌سازند. در این بخش بر آن هستیم تا این حالت را بررسی کنیم که اگر شب بار کف پی (δ_f) از زاویه‌ی α کوچک‌تر باشد، ضرائب ظرفیت باربری لرزه‌ای قائم چه تغییری خواهد یافت؟

به منظور بررسی مسئله کافی است که زاویه (θ_f) نظری کف پی در رابطه (۱۲) متناسب با زاویه (δ_f) اصلاح شود. سایر شرایط مرزی مسئله ثابت باقی می‌ماند.

محیط فاقد وزن و لذا معادلات دیفرانسیل تعادل از نوع همگن است، به هنگام حل مسئله از هر یک از دو گوشه سمت راست و چپ، فشار تماسی یکنواخت برای زیر پی بدست می‌آید. به همین سبب مکانیسم گسیختگی توده خاک زیر پی باز از نوع یک طرفه و ظرفیت باربری بی برابر کمترین مقداری است که حل مسئله از دو سوی راست و چپ بدست می‌دهد. به هنگام حل مسئله از گوشه سمت راست پی شرایط مرزی به قرار زیر است:

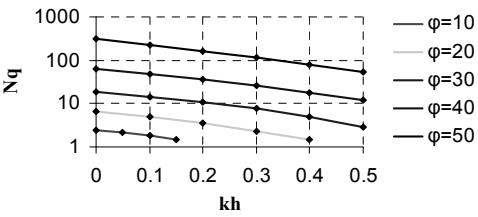
زیر پی:

$$\frac{\tau_{xy}}{\sigma_x} = \frac{R \cdot \sin 2\theta_f}{p + R \cdot \cos 2\theta_f} = k_h \quad (17)$$

سطح آزاد زمین مجاور پی:

$$\theta_{gr} = \pi/2 \quad (18)$$

Bearing Capacity Factor (Nq)



شکل (۶): نتایج ضریب N_q با زاویه اصطکاک داخلی خاک (ϕ) و ضریب شتاب افقی زلزله (k_h)

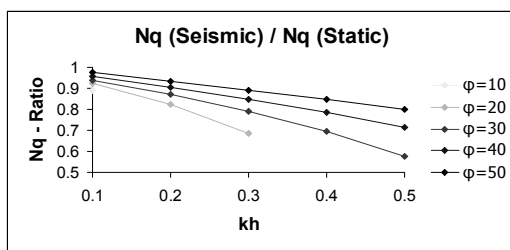
چنان‌که در رابطه (۱۷) دیده می‌شود، به سبب وجود چسبندگی (۳)، زاویه محور تنفس اصلی بزرگ با راستای قائم تابع مقدار میانگین تنفس‌های اصلی زیر پی (p) و لذا نامعلوم است که باید با روش سعی و خطما محاسبه شود. برای حل مسئله به ترتیب گام‌های زیر برداشته می‌شود:

- مسئله از گوشه سمت راست پی حل و فشار تماس زیر پی محاسبه می‌گردد برای این منظور از قضیه حالات مرتبطه (پهنجا و طباطبایی، [۱۲]) استفاده می‌شود. محیط چسبندگی به یک محیط دانه‌ای معادل که سرباری برابر $c \cdot \cotg(\phi)$ دارد تبدیل و مسئله با فرض مقدار اولیه‌ای برای زاویه (θ_f) حل می‌شود. سپس مقدار سربار از مؤلفه قائم فشار تماس (q_v) کسر و نسبت مؤلفه‌های افقی و قائم ($/q_h$) محاسبه می‌گردد. اگر نسبت حاصله با ضریب شتاب افقی زلزله (k_h) برابر بود، پاسخ دقیق مسئله حاصل شده است. در غیر این صورت مقدار دیگری برای θ_f اختیار و عملیات فوق‌الذکر آنقدر تکرار می‌شود تا میزان خطای حد قابل قبول برسد.

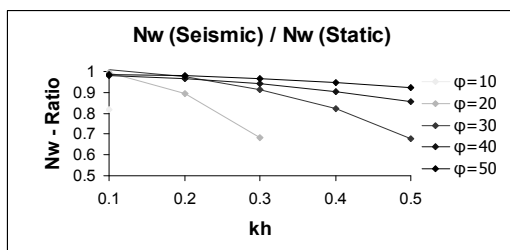
- ۱- اثر زلزله بر نیروی حجمی خاک و سربار؛
- ۲- خروج از مرکزیت فشار تماس زیر پی؛

اهمیت اثرات زلزله بر نیروی حجمی و سربار

سال‌ها است که اثر زلزله بر نیروی حجمی، سربار و اثر این دو عامل بر ظرفیت باربری لرزه‌ای پی‌ها در ادبیات فنی مورد تجزیه و تحلیل واقع شده است [۱] و [۶]. با این همه هنوز تصور برخی مهندسین مأسفانه چنین است که به هنگام وقوع زلزله، ظرفیت باربری لرزه‌ای پی نواری را کافی است با اعمال ضرایب اصلاحی تمایل بار و حداکثر خروج از مرکزیت بر ظرفیت باربری استاتیکی آن (رابطه ۱) ارزیابی نمود. بر اساس این تصور، اثر زلزله بر نیروی حجمی خاک و نیز سربار مجاور پی نادیده گرفته می‌شود و تنها بر نیروی واردۀ از سازه ملاحظه می‌گردد. به عبارت دیگر، ظرفیت باربری لرزه‌ای قائم یک پی نواری که شیب بار آن برابر صفر است، با ظرفیت باربری استاتیکی قائم آن پی یکسان فرض می‌شود؛ چه ضرائب اصلاحی شیب بار در حالت اخیر برابر واحد هستند [۱۲].

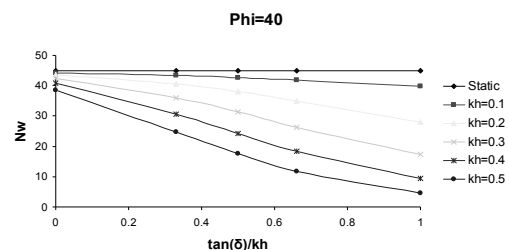


شکل (۱۰): مقایسه ضریب باربری لرزه‌ای N_q یک پی نواری دارای شیب بار صفر با مقدار نظیر آن در بارگذاری استاتیکی [۱۰]

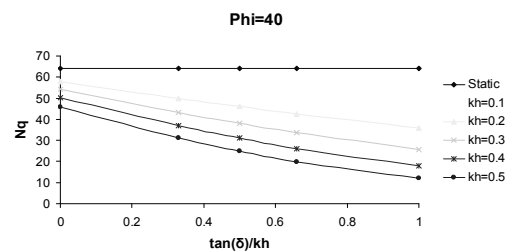


شکل (۱۱): مقایسه ضریب باربری لرزه‌ای N_w یک پی نواری دارای شیب بار صفر با مقدار نظیر آن در بارگذاری استاتیکی [۱۰]

نتایج تحقیق حاضر ضمن تأیید یافته‌های پیشین ثبت شده در ادبیات فنی تأکیدی مؤکد بر این نکته‌ی مهم است که نادیده انگاشتن اثر زلزله بر نیروی حجمی و سربار نه



شکل (۸): نغییرات ضریب N_w با ضریب شتاب افقی زلزله (k_h) و شیب بار کف پی (δ_f) در یک خاک دارای ($\phi=40$)



شکل (۹): نغییرات ضریب N_q با ضریب شتاب افقی زلزله (k_h) و شیب بار کف پی (δ_f) در یک خاک دارای ($\phi=40$)

اشکال (۸) و (۹) به ترتیب تغییرات ضرائب N_q و N_w با شیب بار کف پی (δ_f) را به ازاء زاویه ($\phi=40$) و ضرائب شتاب افقی (k_h) برابر $0/1 \text{ تا } 5/0$ نشان می‌دهند. نسبت $(tan(\delta_f)/k_h)$ برابر با پنج مقدار صفر، $1/2$ ، $1/3$ ، $2/3$ و یک اختیار شده است. در حالت اخیر، مقادیر ضرائب N_q و N_w همان‌هایی هستند که در اشکال (۶) و (۵) ارائه شدند. چنان‌که دیده می‌شود، با کاهش شیب بار کف پی، ضرائب N_q و N_w افزایش می‌یابد. به عبارت دیگر هر قدر شیب فشار تماس کمتر و راستای آن به قائم نزدیکتر باشد، ظرفیت باربری لرزه‌ای پی بزرگتر خواهد بود. طبیعتاً این همان رفتاری است که انتظار می‌رفت. چه بیشتر در ادبیات فنی [۱۱] نشان داده شده است که در حالت بارگذاری استاتیکی، هر قدر شیب فشار تماس بیشتر باشد، مقدار ظرفیت باربری قائم کوچکتر خواهد بود. همچنین مشاهده می‌شود که مقدار ضرائب N_q و N_w در همه حالات از مقادیر نظیر استاتیکی آنها کوچکتر است.

جدول (۱) مقادیر ضرائب N_q و N_w را به ازاء پنج زاویه اصطکاک داخلی خاک (ϕ) و نیز پنج ضریب شتاب افقی (k_h) و همچنین پنج شیب بار کف پی (δ_f) نمایش داده است.

بحث و بررسی

در این بخش دو موضوع مهم مورد بحث قرار می‌گیرد:

برابر صفر است. یادآور می‌شود که خروج از مرکز، موقعیت بار قائم را نسبت به مرکز پی بیان می‌دارد و با توجه به چگونگی توزیع فشار تماس زیر پی به راحتی قابل محاسبه است. در حالت بارگذاری لرزه‌ای ($k_h > 0$) آرایش خطوط مشخصه و در نتیجه توزیع فشار تماس زیر پی نامتقارن و لذا مقدار خروج از مرکز بزرگتر از صفر است. با افزایش ضریب شتاب افقی زلزله، سطح گوههای خمیری زیر بخش‌های راست و چپ پی (نواحی مرکب) به ترتیب افزایش و کاهش و در نتیجه مقدار خروج از مرکز بار قائم افزایش یابد. نتیجه‌ی مهمی که از این بحث حاصل می‌شود آن است که به هنگام وقوع زلزله، بی تحت تأثیر یک لنگر اضافی ناشی از اینرسی زمین نیز قرار خواهد گرفت.

نتیجه‌گیری

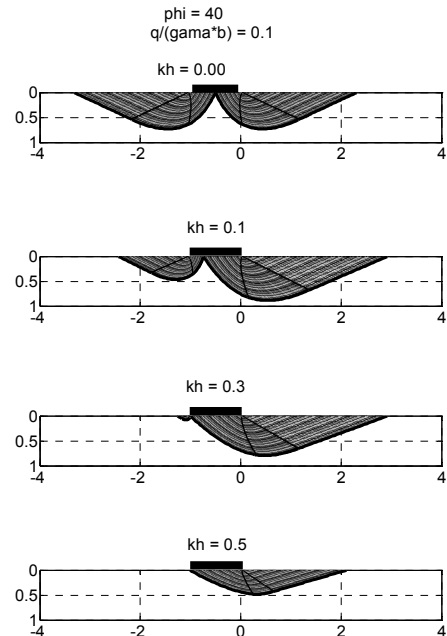
در این مقاله اثر شیب بار کف پی بر ظرفیت بارگذاری لرزه‌ای قائم پی‌های نواری مورد بررسی قرار گرفت. برای این منظور ابتدا ضرائب ظرفیت بارگذاری لرزه‌ای پی‌های نواری با استفاده از روش خطوط مشخصه تنش و بر اساس این فرض متعارف برآورد شدند که نه تنها نیروی حجمی و نیز سربار وارده بر سطح آزاد مجاور بی، بلکه حتی شیب بار و بلکه فشار تماس کف پی، با راستای قائم زاویه‌ای برابر $= \alpha \tan^{-1}(k_h)$ می‌سازند. پس از آن به این پرسش پاسخ داده شد که اگر شیب بار کف از زاویه‌ی (α) کوچکتر باشد، ضرائب ظرفیت بارگذاری لرزه‌ای قائم چه تغییری خواهد یافت؟ در این راستا نمودارها و جداولی ارائه شدند که ضرائب ظرفیت بارگذاری پی‌های لرزه‌ای قائم را به صورت تابعی از زاویه اصطکاک داخلی خاک (φ)، ضریب افقی شتاب زلزله (k_h) و نیز شیب بار کف پی (δ) ارائه می‌دهند. بررسی نمودارها و جداول یاد شده نشان می‌دهند که اگر شیب بار کف پی از زاویه‌ی (α) کوچکتر باشد، ظرفیت بارگذاری قائم آن به میزان قابل ملاحظه‌ای فزون‌تر خواهد شد. همچنین این یافته‌ی محققین پیشین مجددًا مورد تأکید قرار گرفت که اثر زلزله بر هر یک از دو عامل نیروی حجمی و سربار، مانند اثر آن بر شیب بار کف پی، قابل توجه و بیش از آن است که نادیده گرفته شود.

واقع‌بینانه است و نه حتی محافظه‌کارانه. اشکال (۱۰) و (۱۱) که از جدول (۱) برگرفته شدند، به ترتیب ضرائب بارگذاری لرزه‌ای قائم N_v و N_h نظیر یک پی نواری دارای شبیب بار صفر را با مقادیر نظری آنها در شرایط بارگذاری استاتیکی (کمالیان [۱۰]) مقایسه کردند. چنان‌که دیده می‌شود، با افزایش ضریب افقی شتاب زلزله (k_h) و نیز با کاهش زاویه اصطکاک داخلی خاک (φ)، ضرائب بارگذاری لرزه‌ای قائم از ضرائب بارگذاری استاتیکی قائم فاصله بیشتری می‌یابند (حدود پنجاه درصد) و میزان کاهش آنها بیش از آن است که بتواند نادیده گرفته شود.

خروج از مرکزیت^{۱۷} برآیند نیروهای وارد بر پی

شکل (۱۲) تغییرات آرایش خطوط مشخصه زیر یک پی را با ضریب شتاب افقی زلزله نشان می‌دهد. مشخصات مکانیکی خاک و سربار بدین شرح است:

$$\varphi = 40 \quad c = 0 \quad q/(\gamma \cdot b) = 0.1$$



شکل (۱۲): اثر ضریب شتاب افقی زلزله بر آرایش خطوط مشخصه زیر پی

چنان‌که دیده می‌شود، در حالت بارگذاری استاتیکی ($k_h = 0$) آرایش خطوط مشخصه و در نتیجه توزیع فشار تماس زیر پی متقارن و لذا مقدار خروج از مرکز (P_v) بار قائم

جدول (۱): نتایج ضرایب ظرفیت باربری لرزه‌ای قائم پی نواری با زاویه اصطکاک داخلی خاک (φ)، ضریب افقی شتاب زلزله (k_h) و شبیه بار کف پی ($\tan(\delta_f)$)

k_h	$\tan(\delta_f)/k_h$	$\varphi = 10$		$\varphi = 20$		$\varphi = 30$		$\varphi = 40$		$\varphi = 50$	
		N_y	N_q								
0/1	1	0.15	1.87	1.31	5.01	6.75	14.31	39.82	48.70	335.85	230.88
	0.66	0.19	2.00	1.44	5.32	7.31	15.30	41.73	52.84	359.07	257.10
	0.5	0.21	2.05	1.48	5.47	7.48	15.80	42.65	54.90	368.02	269.82
	0.33	0.21	2.11	1.52	5.62	7.61	16.30	43.37	57.01	375.07	283.02
	0	0.23	2.20	1.57	5.90	7.78	17.30	44.14	61.34	382.22	310.82
0/2	1	—	—	0.68	3.62	4.55	10.66	28.06	35.86	233.52	163.49
	0.66	—	—	0.96	4.20	5.86	12.38	34.9	42.57	298.17	202.21
	0.5	—	—	1.09	4.50	6.41	13.27	37.91	46.16	327.24	223.52
	0.33	—	—	1.23	4.75	6.89	14.18	40.47	49.94	351.84	246.58
	0	—	—	1.41	5.28	7.52	16.02	43.51	57.97	379.34	298.09
0/3	1	—	—	0.17	2.25	2.51	7.54	17.26	25.68	143.49	113.82
	0.66	—	—	0.41	3.02	4.06	9.69	26.35	33.69	224.92	157.28
	0.5	—	—	0.56	3.39	4.92	10.85	31.32	38.28	272.07	183.60
	0.33	—	—	0.73	3.74	5.77	12.06	36.03	43.27	317.10	213.51
	0	—	—	1.08	4.40	7.05	14.56	42.39	54.32	374.37	284.73
0/4	1	—	—	—	—	1.02	4.96	9.35	17.86	80.56	78.22
	0.66	—	—	—	—	2.38	7.25	18.26	26.14	158.49	121.08
	0.5	—	—	—	—	3.33	8.54	24.22	31.23	214.4	149.54
	0.33	—	—	—	—	4.39	9.91	30.64	36.97	275.70	183.64
	0	—	—	—	—	6.33	12.83	40.75	50.36	367.26	270.67
0/5	1	—	—	—	—	0.24	2.85	4.52	12.03	43.55	53.24
	0.66	—	—	—	—	1.07	5.00	11.7	19.81	107.50	92.31
	0.5	—	—	—	—	1.84	6.24	17.56	24.97	162.10	120.72
	0.33	—	—	—	—	2.86	7.60	24.83	31.07	232.21	156.77
	0	—	—	—	—	5.22	10.58	38.47	45.98	358.34	255.84

مراجع

- Sarma, S.K. and Iossifelis, I. S. (1990). "Seismic bearing capacity factors of shallow strip footings." *Geotechnique*, Vol. 40, No. 2, PP. 265-273.
- Richards, R. Elms, D.G. and Budhu, M. (1993). "Seismic bearing capacity and settlement of foundations". *J. Geotech. Engng. Div., ASCE*, Vol. 119, No. 4, PP. 662-674.
- Budhu, M. and Al-Karni, A. (1993). "Seismic bearing capacity of soils." *Geotechnique*, Vol. 43, No. 1, PP. 181-187.
- Budhu, M. and Al-Karni, A. (1994). "Discussion: Seismic bearing capacity of soils." *Geotechnique*, Vol. 44, No. 4, PP.185-188.
- Soubra, A. H. (1997). "Seismic bearing capacity factors of shallow strip footing in seismic conditions." *Proc. Instn. Civ. Engrs, Geotech. Engng.* Vol. 125, PP. 230-241.
- Kumar, J. and Mohan Rao, V.B.K. (2002). "Seismic bearing capacity factors for spread foundations.", *Geotechnique* Vol. 52, No. 2, PP.79-88.
- Sokolovski, V.V. (1960). *Statics of soil media*. 2th. Ed. Butterworths Scientific Pub. London.
- Desai, C.S. and Christian, J.T. (1977). *Numerical methods in geotechnical engineering*. Chapter 21 (Booker, J.R. and Davis, E.H.), McGraw-Hill Pub. Co. New York.
- Atkinson, J.H. (1981). *Foundations and slopes (An introduction to applications of critical state soil mechanics)*. Chapter 7. McGraw hill book company. New York.
- Kamalian, M. (2008), *Numerical Assessment of Friction Coefficient Effect on Seismic Bearing Capacity by the Characteristic Method*. Research Report. International Institute of Earthquake Engineering and Seismology (IIEES). Tehran (Submitted).
- Behnia, C. and Tabatabai, A.M. (1989). *Soil Mechanics*. Vol. 2. 5th. Ed. Chapter 12, Tehran University Pub. Co., Tehran.
- Behnia, C. and Tabatabai, A.M. (1988). *Soil Mechanics*. Vol. 1. 5th. Ed. Chapter 11, Tehran University Pub. Co., Tehran.

واژه‌های انگلیسی به ترتیب استفاده در متن

1. Bearing Capacity
- 2 . Seismic Bearing Capacity
- 3 . Earthquake
- 4 . Characteristic Line Method
- 5 . Limit Analysis
- 6 . Upper Limit
- 7 . Lower Limit
- 8 . Mohr-Coulomb
- 9 . Bearing Pressure
- 10 . Horizontal Seismic Coefficient
- 11 . Caushy Zone
- 12 . Boundary Conditions
- 13 . Goursat Zone
- 14 . Mixed Zone
15. Iteration
- 16 . Superposition Principle
- 17 . Eccentricity